环境科学

ENVIRONMENTAL SCIENCE

ISSN 0250-3301 CODEN HCKHDV
HUANJING KEXUE

■ 主办 中国科学院生态环境研究中心
■ 出版 科学出版社

2019
Vol.40 No.3
第40卷 第3期

环境科学
(HUANJING KEXUE)
ENVIRONMENTAL SCIENCE
第40卷 第3期
2019年3月15日

目 次

Eco-Environmental Knowledge Web
环 境 科 学
Environmental Science
第 40 卷 第 3 期 2019 年 3 月
Vol. 40, No. 3 Mar., 2019

BiOCl-$(NH_4)_3PW_{12}O_{40}$ 复合光催化剂制备及其光催化降解污染物机制

张文海[1], 吉庆华[2,3], 兰华春[2,3], 李静[1*]
(1. 河北工业大学土木与交通学院, 天津 300401; 2. 清华大学水质与水生态研究中心, 北京 100084; 3. 中国科学院生态环境研究中心, 北京 100085)

摘要: 光生电子和空穴的分离效率是影响光催化性能的重要因素. 氯氧铋是典型的层状纳米光催化剂, 却因光生电子和空穴的快速复合所表现出的低量子效率而受到使用限制. 本文通过两步的水热法合成了 BiOCl-$(NH_4)_3PW_{12}O_{40}$复合光催化剂. 以甲基橙(MO)为模拟污染物进行光催化活性测试. 结果表明,在氙灯模拟的太阳光照射下, Bi 与 W 的原子比为 1∶1时, 其催化效果最佳. 通过自由基猝灭实验对催化剂光降解 MO 的催化机制进行了研究, 发现 BiOCl 是由空穴, 羟基自由基和超氧自由基共同作用来对 MO 进行降解; 而复合催化剂则主要以羟基自由基和超氧自由基为活性物种来降解 MO. 通过对反应前后的催化剂进行 XPS 分析, 证明了磷钨酸铵可以接收 BiOCl 产生的光生电子. 通过光电流测试, 表明复合光催化剂的光生电子的转移和分离效率有了较大的提高, 从而提高了光催化活性.

关键词: BiOCl-NH_4PTA; 复合光催化剂; 甲基橙; 光生电子受体; 电子空穴分离效率
中图分类号: X131; X703.1 **文献标识码**: A **文章编号**: 0250-3301(2019)03-1295-07 **DOI**: 10.13227/j.hjkx.201808239

Preparation of BiOCl-$(NH_4)_3PW_{12}O_{40}$ Photocatalyst and a Mechanism for Photocatalytic Degradation of Organic Pollutants

ZHANG Wen-hai[1], JI Qing-hua[2,3], LAN Hua-chun[2,3], LI Jing[1*]
(1. School of Civil and Transportation Engineering, Hebei University of Technology, Tianjin 300401, China; 2. Center for Water and Ecology, Tsinghua University, Beijing 100084, China; 3. Research Center for Eco-Environmental Sciences, Chinese Academy of Sciences, Beijing 100085, China)

Abstract: The separation efficiency of photogenerated electrons and holes is the key to photocatalytic performance. Layered BiOCl is a kind of newly exploited efficient photocatalyst, but its wide-spread practical application is hindered by the rapid recombination of photogenerated electron-hole pairs and low quantum efficiency. In this study, we prepared a composite photocatalyst via a hydrothermal method in which $(NH_4)_3PW_{12}O_{40}$(NH_4PTA) is the acceptor of photoelectrons from BiOCl. The photocatalytic performance of variants of BiOCl-NH_4PTA was evaluated by the removal efficiency of methyl orange (MO). The experimental results showed that the BiOCl-NH_4PTA [n(Bi)∶n(W) = 1∶1] had the best photocatalytic activity under the irradiation of sunlight simulated by xenon light. The photocatalytic mechanism was investigated using the reactive species trapping experiments. It was found that MO could be photodegraded by, ·OH, and holes over BiOCl. Differently, and ·OH were the dominant reactive species for the reactions over the composite photocatalyst. It was proved that NH_4PTA was the acceptor of photoelectrons by the XPS on the photocatalyst before and after reaction. The photocurrent test verified the superior photocatalysis of BiOCl-NH_4PTA which was attributed to the efficient separation of electron-hole pairs.

Key words: BiOCl-NH_4PTA; composite photocatalyst; methyl orange; photoelectrons acceptor; separation efficiency of electron-hole pairs

光催化氧化技术作为高级氧化技术的一种, 在处理难降解有机污染物方面表现良好. 而光生电子和空穴的重组, 极大影响了光催化的效率, 从而限制了光催化技术的应用[1].

BiOCl 是典型的铋系半导体光催化材料, 具有特殊的晶体和电子结构, $[Bi_2O_2]^{2+}$层在两个 Cl 离子层中间. Cl 与 Bi 原子之间共价作用强, 导致 BiOCl 极化率强, 从而决定了较强的内部电场, 一定程度上有利于光生电子-空穴有效分离[2,3], 因此表现出良好的光催化活性. 为进一步降低其光生电子和空穴的复合率, 科研人员不断对其进行改性. 针对 BiOCl 的微结构调制, 有一维纳米线(棒)、二维纳米片[2,4]、三维分层结构[5,6]和支撑薄膜[7,8]四大类. 针对 BiOCl 的复合催化剂, 有半导体复合[9,10]、金属复合[11,12]、助催化敏化[13,14]三大类. 针对 BiOCl 的结构设计, 有掺杂或缺陷引入[15,16]、固溶体光催化剂[17,18]和其它卤代铋光催化剂[19,20]三大类. 这些改性对光催化活性有了明显的提升.

为了使光生电子得以迅速转移从而降低光生电

收稿日期: 2018-08-29; **修订日期**: 2018-09-19
基金项目: 国家水体污染控制与治理科技重大专项(2017ZX07202003); 河北省住房和城乡建设厅科研项目(2014-230)
作者简介: 张文海(1993~), 男, 硕士研究生, 主要研究方向为光催化降解有机污染物, E-mail:zwhxs1024@163.com
* 通信作者,E-mail:tdhjlj@163.com

子和空穴的复合，人们可以为其添加一种电子受体. 多金属氧酸盐分子体积巨大，结构确定，并且具有质子储存和转移的能力，而且还原态和氧化态的多酸不会因为得失电子而导致结构变形，如已经证实 Keggin 型结构的$[XM_{12}O_{40}]^{n-}$能够接受 32 个电子[21]并保持结构稳定. 由于多金属氧酸盐在一定条件下可以进行可逆的、多步的、多电子的氧化还原过程，因此可以将其作为一类性质优异电子受体. Liu 等[22]将磷钨酸与氯化铁形成的 Fe(Ⅲ){$PO_4[WO(O_2)_2]_4$}负载到了 g-C_3N_4 的表面，在太阳光照条件下，对罗丹明 B 的降解效果良好. Heng 等[23]制作的 $H_3PW_{12}O_{40}/TiO_2$-In_2S_3 复合光催化剂对吡虫啉有良好的降解效果.

受此启发，人们可以将磷钨酸铵作为氯氧铋的光生电子受体，制作一种新型的复合光催化剂. 近期，只有 Wang 等[24,25]通过沸石负载溴氧铋和磷钨酸，实现了可见光下良好的催化活性. 但是，复合材料光催化效率提升的机制尚不明确.

本文利用两步水热法，制备了磷钨酸铵和氯氧铋复合光催化剂. 以甲基橙为模拟污染物，对复合催化剂的光催化活性进行测试. 同时研究了元素配比、不同淬灭剂和酸碱性对光催化活性的影响. 通过淬灭实验、XPS 分析和光电流来对机制进行研究，表明磷钨酸铵可以接受氯氧铋产生的光生电子，使得复合光催化剂的光生电子和空穴复合率有了明显的降低.

1 材料与方法

1.1 试剂与仪器

主要试剂：硝酸铋 $Bi(NO_3)_3\cdot5H_2O$、聚乙烯吡咯烷酮(PVP)、甘露醇、饱和 NaCl 溶液、磷钨酸($H_3PW_{12}O_{40}\cdot xH_2O$)、氯化铵($NH_4Cl$)、甲基橙(MO)溶液等，以上试剂均为分析纯，实验用水为去离子水.

主要仪器：紫外可见分光光度计(U-3900 日本 Hitachi High-Technologies Co.)、X 射线衍射仪(D8 focus 德国 Bruker 公司)、场发射扫描电子显微镜(SU-8020 日本日立公司)、透射电子显微镜(JEM-2100 日本电子珠式会社)、X 射线光电子能谱仪(ESCALAB250Xi 赛默飞世尔科技(中国)有限公司)、红外光谱仪(TENSON 27 BRUKEY, Germany)、电化学工作站(Reference 600 + GAMRY).

1.2 催化剂制备：

磷钨酸铵[$(NH_4)_3PW_{12}O_{40}$]制备：将 300 mg 的 $H_3PW_{12}O_{40}\cdot xH_2O$ 和110 mg的 NH_4Cl 分别溶于 20 mL 和 10 mL 去离子水中，分别记为 A 和 B 溶液(保证 NH_4Cl 和 $H_3PW_{12}O_{40}\cdot xH_2O$ 的摩尔比大于 3∶1). 在磁力搅拌的作用下，将 B 溶液缓慢滴加至 A 溶液，搅拌均匀后放入反应釜中，在 140℃ 条件下加热 12 h. 自然冷却后通过离心获得沉淀，用去离子水清洗 3 次，再进行冷冻干燥.

复合催化剂制备：参考 Guan 等[26]的方式由溶剂热法制备 BiOCl. 将 0.486 g 的 $Bi(NO_3)_3\cdot5H_2O$ 和 0.400 g 的 PVP 溶于 25 mL 的 0.1 mol·L^{-1}的甘露醇溶液，通过超声和机械搅拌使其溶解. 加入 5 mL 的饱和 NaCl 溶液，产生均一的白色悬浮液. 搅拌 10 min 后，再加入一定比例的磷钨酸铵，搅拌均匀后，倒入到聚四氟乙烯高压反应釜中，放入烘箱中 160℃反应 3 h. 待反应釜自然冷却到室温后，离心获得固体沉淀物，用去离子水洗涤 3 次以除去多余的离子. 样品经过干燥即可使用.

1.3 光催化活性测试

催化剂活性以甲基橙(MO)的降解速率来作为评价指标. 模拟污染物 MO 的浓度为 10 mg·L^{-1}，体积为 100 mL，置于 300 mL 烧杯中，加入一定量的催化剂. 在磁力搅拌的条件下，利用氙灯模拟太阳光进行光催化实验. 反应前，避光吸附 30 min，达到吸附脱附平衡. 光照一定时间后取 5 mL 反应液，高速离心分离，用分光光度计在 466 nm 处测其上层清液的吸光度. 以溶液的降解率来评价光催化剂的活性，即 $c_t/c_0 = A_t/A_0$(式中，A_t 和 A_0 分别表示 t 时间和初始溶液的吸光度). 在 pH 条件实验中，利用 0.5 mol·L^{-1} 的 HNO_3 溶液和 0.5 mol·L^{-1} 的 NaOH 溶液调节 pH 值.

2 结果与讨论

2.1 催化剂理化性质表征

利用 XRD 对 BiOCl 和复合催化剂进行分析(图 1). 水热法制备的 BiOCl 与 JCPDS (No. 82-0485)相对应. 主要以 001 晶面(12.025°)、101 晶面(25.905°)、110 晶面(32.551°)和 102 晶面(33.520°)为主. 水热法制备的复合催化剂其峰值与 BiOCl 较为吻合，但是却无明显的磷钨酸铵的衍射峰. 可能是由于磷钨酸铵的含量相对较少，且分散性较好，致使其无明显的 XRD 特征峰. 催化剂反应前后的 XRD 峰值无明显变化，表明催化剂较为稳定.

催化剂的微观结构对催化反应有一定的影响. 所以通过 TEM 来对复合催化剂进行微观分析. 从图 2(a)看到 NH_4PTA 呈球状，粒径大约为 700 nm；图 2(b)中的 BiOCl 呈二维薄片状；图 2(c)和图 2

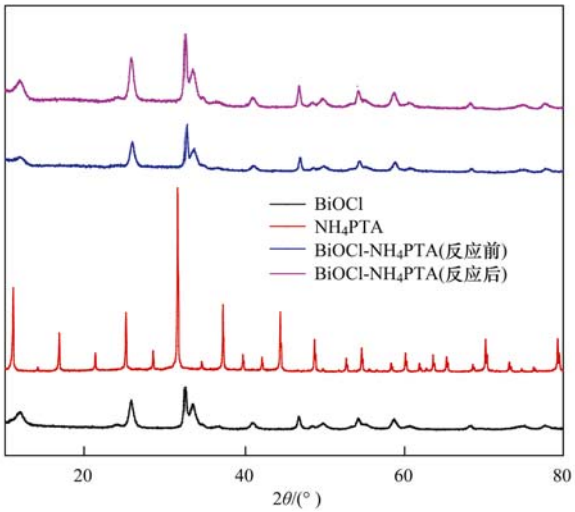

图 1　样品 XRD 图

Fig. 1　XRD patterns of samples

(d)可以看到 BiOCl 纳米片在 NH_4PTA 上形成了部分的片层覆盖. 图 2(e)为能谱分析的选定区域, 图 2(f)~2(h) 分别表示为选定区域中的 Bi、W 和 P 元素. 因此可以表明 NH_4PTA 和 BiOCl 复合良好.

2.2　材料光催化活性分析

2.2.1　磷钨酸铵掺杂比

在氙灯模拟的太阳光条件下, 不同掺杂比例的 BiOCl-NH_4PTA 复合光催化剂对 MO 降解进行了比较实验. 如图 3(a)所示, 引入磷钨酸铵后, 催化降解速率较 BiOCl 有了明显的提升, 当 Bi 与 W 的摩尔比 1∶1时, 对 MO 的光催化效果最佳, 在光照 0.5 h 后, MO 的降解率达到了 90% 以上. 不同掺杂比例的 BiOCl-NH_4PTA, 其降解速率也有所区别. 这可能是由于 BiOCl 过多, 会对 NH_4PTA 过分包裹, 从而降低了光生电子的传递. 后续实验中, 均选用催化效果最好的 BiOCl-NH_4PTA[n(Bi)∶n(W) = 1∶1]进行实验.

2.2.2　pH 对光催化影响

本实验中, 利用 0.5 mol·L^{-1}的 NaOH 溶液和 0.5 mol·L^{-1}的 HNO_3 来调节反应体系的 pH 值. 通过图 3(b)可以看到, 在酸性条件下降解效果较好.

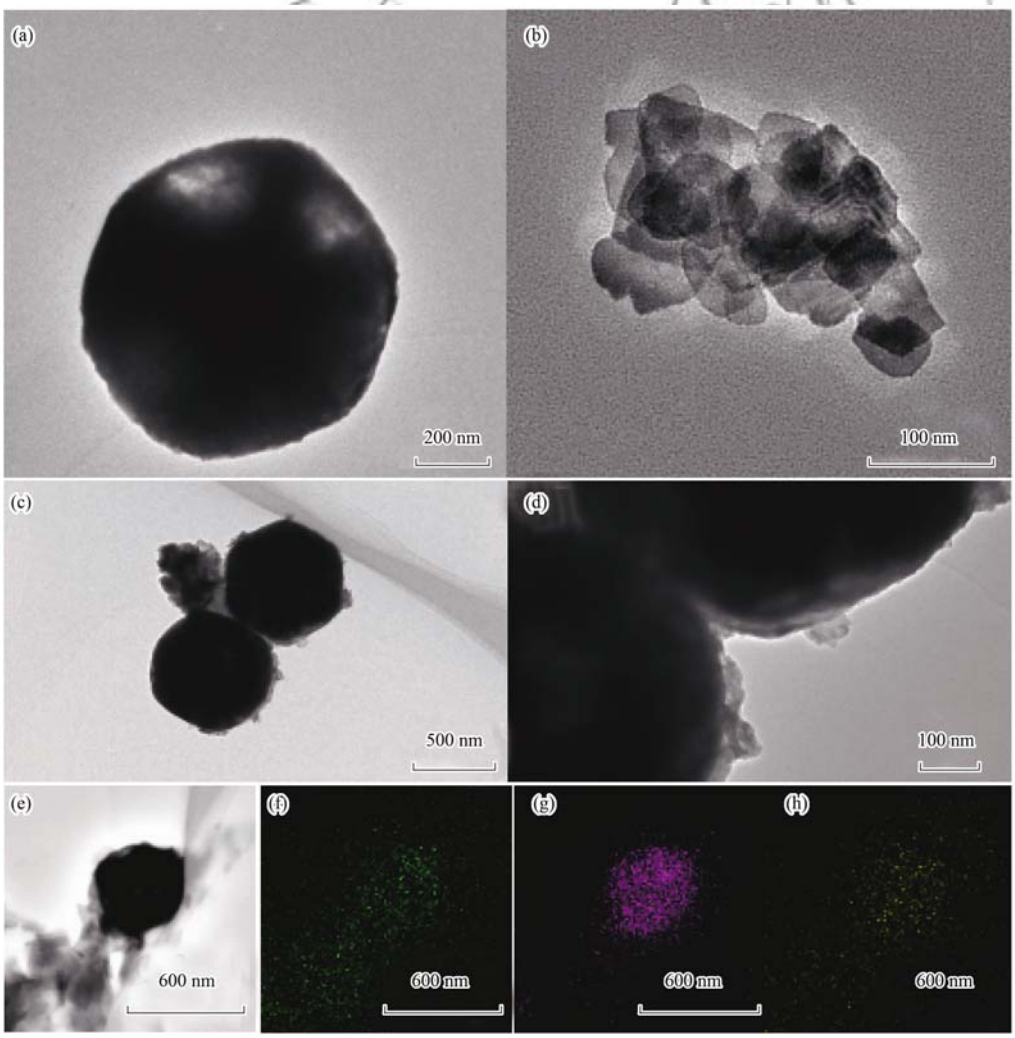

(a) NH_4PTA 透射电镜图; (b) BiOCl 透射电镜图; (c)和(d) BiOCl-NH_4PTA 的透射电镜图; (e)~(h)BiOCl-NH_4PTA 的元素分布

图 2　催化剂的透射电镜图和元素分布

Fig. 2　TEM images and element mapping of samples

但是 pH = 10 时，催化效率很低. 酸碱条件下催化效率的差异是由于酸性条件下，催化剂表面的正电荷会吸引光生电子迁移到催化剂表面，一定程度上加强了光生电子和空穴的分离；同时，迁移到催化剂表面的电子可以与水中的 O_2 反应生成超氧自由基，进而提高光催化降解的效率[27,28].

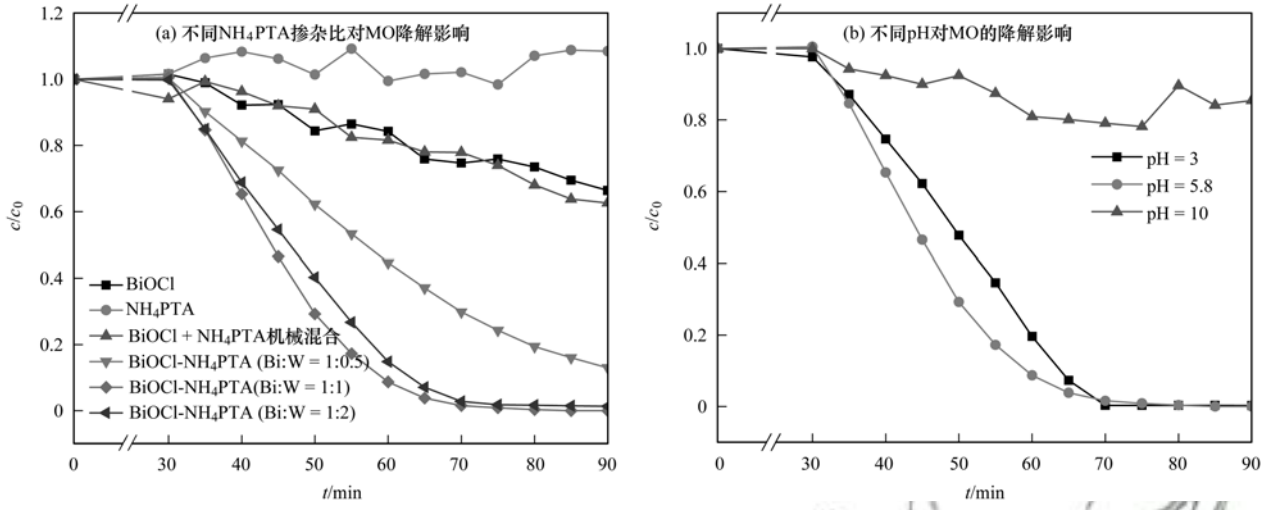

图 3 催化剂对甲基橙的降解效果

Fig. 3 Image of degradation effects of different photocatalysts for MO

2.3 降解机制讨论

紫外可见漫反射吸收光谱可以直观地显示材料在不同波长下的光吸收值. 如图 4(a)所示，复合催化剂较 BiOCl 发生了明显的红移，表明复合催化剂增强了可见光区的吸收，可以利用更多波长范围的光，进而在实际条件的运用有了一定的基础. 异质结的形成，会对物质的能带产生一定的影响. 所以通过计算对比了二者的禁带宽度. 根据 Tauc plot 公式：

$$(\alpha hv)^{1/n} = A(hv - E_g)$$

式中，α 为吸光指数，h 为普朗克常数，v 为频率，A 为常数，E_g 为半导体禁带宽度. 指数 n 与半导体类型有关. 直接带隙半导体：$n = 1/2$；间接带隙半导体 $n = 2$. BiOCl 是间接带隙半导体，故 n 取 2. 由此以 $(Ahv)^{0.5}$ 对 hv 作图，其结果如图 4(b)所示，计算可得 BiOCl 和复合催化剂的禁带宽度值分别为 2.99 eV 和 2.07 eV. 禁带宽度的减小，可以使催化剂利用更多长波段的光，进行催化反应.

为探究光催化降解 MO 的内在机制，通过自由基淬灭实验来对反应过程中的活性物种进行研究. 本实验中，以甲醇为空穴淬灭剂，叔丁醇作为羟基自由基猝灭剂，Ar 曝气来抑制超氧自由基的生成. 图 5 分别为 BiOCl 和复合催化剂的淬灭实验结果. 在 BiOCl 降解 MO 的过程中，空穴、羟基自由基和超氧自由淬灭后，其反应速率均有明显的下降，说明以上 3 种活性物种均参与了反应. 在复合催化剂的降解 MO 的过程中，羟基自由基和超氧自由基淬灭后，反应速率有明显的下降，而空穴的淬灭对反应速率的影响较小，说明 BiOCl-NH_4PTA 复合材料降解 MO 主要通过羟基自由基和超氧自由基.

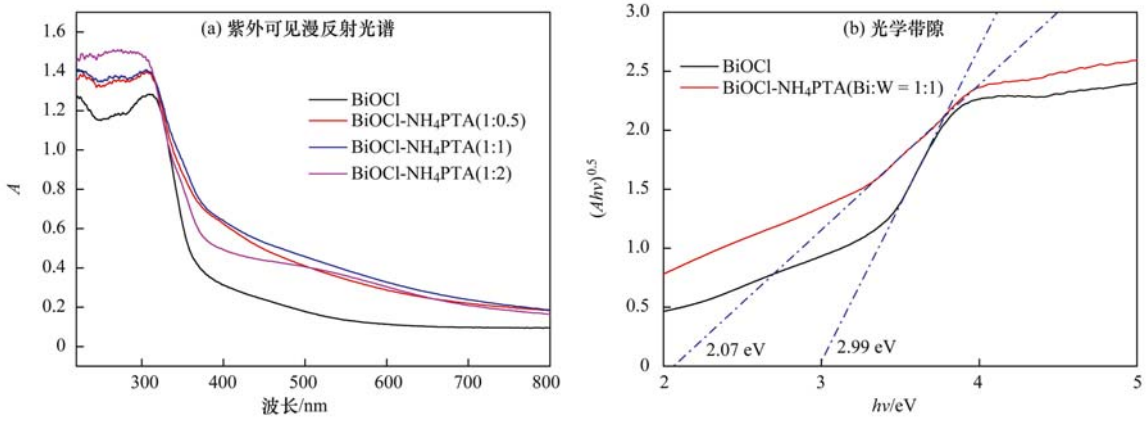

图 4 BiOCl 和 NH_4PTA-BiOCl 的光学性质

Fig. 4 Optical properties of BiOCl and NH_4PTA-BiOCl

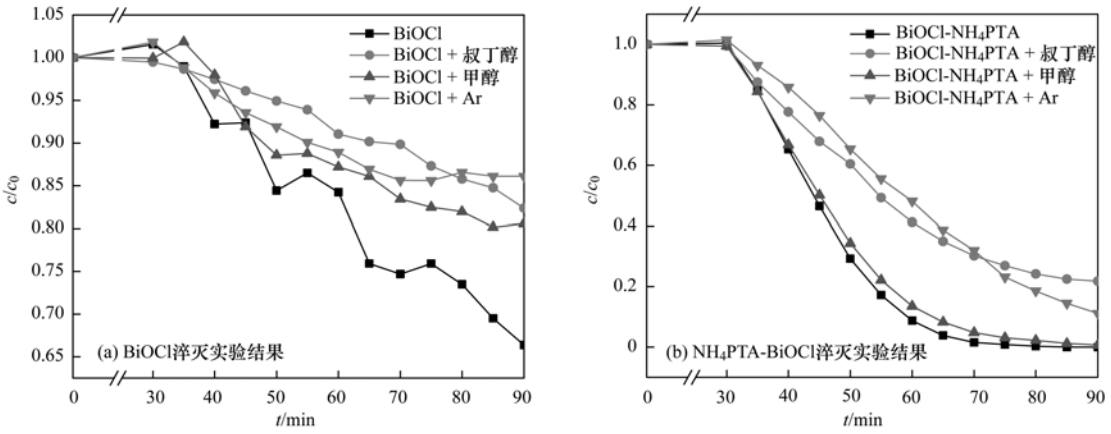

图 5　BiOCl 和 NH_4PTA-BiOCl 光催化氧化 MO 反应机制

Fig. 5　Reaction mechanism of BiOCl and NH_4PTA-BiOCl in the photocatalytic oxidation of MO

XPS 是分析元素价态和化学环境的重要手段之一. 为了分析氯氧铋和磷钨酸铵的结合方式，本研究对 BiOCl 和复合催化剂中的 Bi 元素进行了 XPS 分析，其结果如图 6(a)所示. 158.93 eV 和 164.24 eV 对应着 Bi4*f* 轨道，表明铋元素为 +3 价[29]. 复合催化剂的 Bi4*f* 元素的结合能偏移到了 159.20 eV 和 164.55 eV，表明 BiOCl 和磷钨酸铵形成了强烈的化学键，而不是二者简单的机械混合[30,31]. 为了验证复合材料反应后磷钨酸铵是否得电子，本研究对反应前后催化剂的钨元素进行了 XPS 分析，如图 6(b)所示，为催化剂反应前后 W4*f* 轨道电子的结合能. 反应前的 38.17 eV 和 36.05 eV 分别对应着 W4$f_{5/2}$ 和 W4$f_{7/2}$ 轨道电子的结合能，表明钨元素为 +6 价[32]. 而反应后，其对应的峰值偏移到了 37.85 eV 和 35.7 eV. XPS 谱图中，轨道电子向小的结合能方向移动，表明该元素得电子. 测得的这一微小的偏移是由于磷钨酸铵中 W 元素接收了 BiOCl 在光照激发下产生的光生电子，使得其 XPS 谱图中 W 元素的结合能降低.

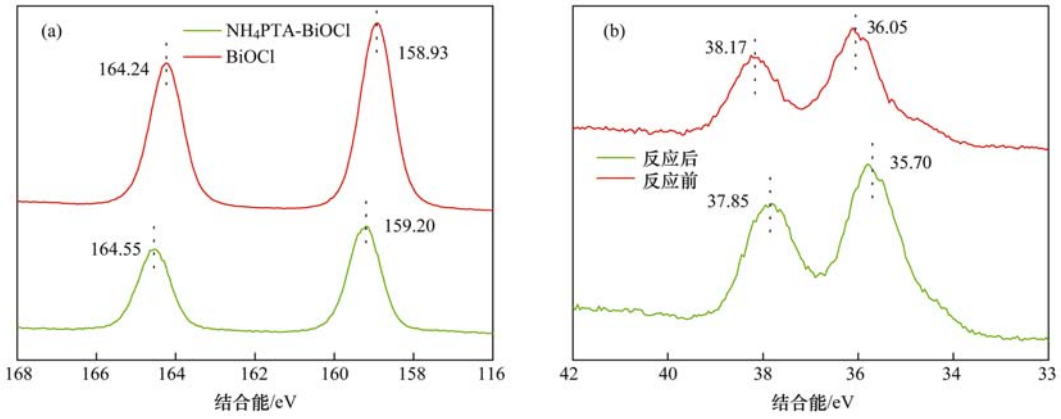

(a) BiOCl 和 NH_4PTA-BiOCl 中 Bi 元素；(b) NH_4PTA-BiOCl 催化剂反应前后 W 元素

图 6　催化剂 XPS 谱图

Fig. 6　XPS spectra of samples

钨元素微弱的偏移并未整体引起化合价的改变. 如图 7 所示，在催化反应过程中，磷钨酸铵接受了来自氯氧铋的光生电子，传递到磷钨酸铵的电子会迅速与水中的氧气反应，产生超氧自由基. 该体系在加速分离光生电子和空穴的同时，产生了具有强氧化性的超氧自由基，从而提高了光催化活性.

高效的电荷分离和转移是影响光催化的重要因素. 可以通过光电流的测试来验证异质结对光生电子的分离和迁移影响[33]. 在模拟太阳光的照射下，以 0.1 mol·L^{-1} 的 $NaSO_4$ 溶液为电解液，在 0.8 V 电压下对 BiOCl 和 BiOCl-NH_4PTA 进行光电流测试，其结果如图 8 所示. 在光照时，可以看到两种类型的光电极都产生了均匀稳定的光电流，同时光响应具有良好的可逆性. BiOCl 的光电流密度为 0.5 μA·cm^{-2}，复合催化剂 BiOCl-NH_4PTA 的光电流较 BiOCl 有了明显的提高，达到了 10 μA·cm^{-2}. 光电流的增强是由于复合催化剂的光生电子和空

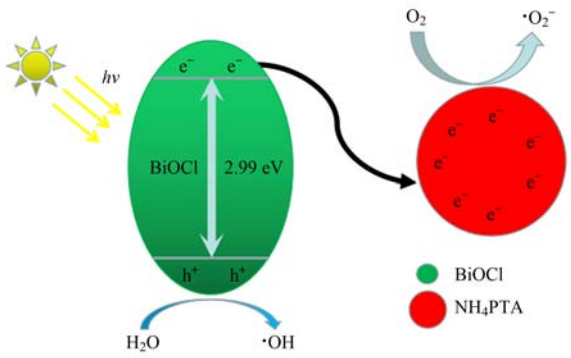

图 7 光生载流子传递示意

Fig. 7 Photo-induced transfer of electrons and holes at the interface between BiOCl and NH_4PTA

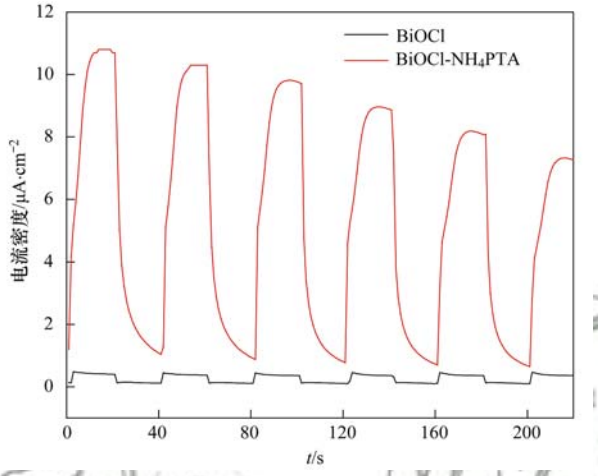

图 8 BiOCl 和 BiOCl-NH_4PTA 的光电流对比

Fig. 8 Photocurrent of BiOCl and BiOCl-NH_4PTA under ultraviolet light

穴可以有效分离[34].

3 结论

(1)通过两步水热法制备了 BiOCl-$(NH_4)_3PW_{12}O_{40}$复合光催化剂. 当 Bi 与 W 的摩尔比为 1∶1时, 在氙灯模拟的太阳光照射下, 对甲基橙的降解效果最佳.

(2)通过淬灭实验, 发现羟基自由基和超氧自由基共同作用于光催化氧化过程中. XPS 能谱和光电流测试, 证明了磷钨酸铵作为光生电子受体的作用. 磷钨酸铵的引入, 使光生电子和空穴得到了有效地分离.

(3)将杂多酸作为电子受体引入半导体光催化剂, 将会成为降低光生电子和空穴复合率的一种有效方法.

参考文献:

[1] Wang H L, Zhang L S, Chen Z G, *et al*. Semiconductor heterojunction photocatalysts: design, construction, and photocatalytic performances [J]. Chemical Society Reviews, 2014, **43**(15): 5234-5244.

[2] Jiang J, Zhao K, Xiao X Y, *et al*. Synthesis and facet-dependent photoreactivity of BiOCl single-crystalline nanosheets[J]. Journal of the American Chemical Society, 2012, **134**(10): 4473-4476.

[3] Zhao K, Zhang L Z, Wang J J, *et al*. Surface structure-dependent molecular oxygen activation of BiOCl single-crystalline nanosheets [J]. Journal of the American Chemical Society, 2013, **135**(42): 15750-15753.

[4] Chang X F, Huang J, Cheng C, *et al*. BiOX (X = Cl, Br, I) photocatalysts prepared using $NaBiO_3$ as the Bi source: characterization and catalytic performance [J]. Catalysis Communications, 2010, **11**(5): 460-464.

[5] Zhang X, Ai Z H, Jia F L, *et al*. Generalized one-pot synthesis, characterization, and photocatalytic activity of hierarchical BiOX (X = Cl, Br, I) nanoplate microspheres[J]. The Journal of Physical Chemistry C, 2008, **112**(3): 747-753.

[6] Zhu L P, Liao G H, Bing N C, *et al*. Self-assembled 3D BiOCl hierarchitectures: tunable synthesis and characterization [J]. Crystengcomm, 2010, **12**(11): 3791-3796.

[7] Mu Q H, Zhang Q H, Wang H Z, *et al*. Facile growth of vertically aligned BiOCl nanosheet arrays on conductive glass substrate with high photocatalytic properties [J]. Journal of Materials Chemistry, 2012, **22**(33): 16851-16857.

[8] Li Y Y, Liu J P, Jiang J, *et al*. UV-resistant superhydrophobic BiOCl nanoflake film by a room-temperature hydrolysis process [J]. Dalton Transactions, 2011, **40**(25): 6632-6634.

[9] Cheng H F, Huang B B, Qin X Y, *et al*. A controlled anion exchange strategy to synthesize Bi_2S_3 nanocrystals/BiOCl hybrid architectures with efficient visible light photoactivity [J]. Chemical Communications, 2011, **48**(1): 97-99.

[10] Zhang J, Xia J X, Yin S, *et al*. Improvement of visible light photocatalytic activity over flower-like BiOCl/BiOBr microspheres synthesized by reactable ionic liquids[J]. Colloids and Surfaces A: Physicochemical and Engineering Aspects, 2013, **420**: 89-95.

[11] Li H, Zhang L Z. Oxygen vacancy induced selective silver deposition on the {001} facets of BiOCl single-crystalline nanosheets for enhanced Cr(VI) and sodium pentachlorophenate removal under visible light [J]. Nanoscale, 2014, **6**(14): 7805-7810.

[12] Weng S X, Chen B B, Xie L Y, *et al*. Facile in situ synthesis of a Bi/BiOCl nanocomposite with high photocatalytic activity[J]. Journal of Materials Chemistry A, 2013, **1**(9): 3068-3075.

[13] Gao F D, Zeng D W, Huang Q W, *et al*. Chemically bonded graphene/BiOCl nanocomposites as high-performance photocatalysts[J]. Physical Chemistry Chemical Physics, 2012, **14**(30): 10572-10578.

[14] Zhang L, Wang W Z, Sun S M, *et al*. Water splitting from dye wastewater: a case study of BiOCl/copper(II) phthalocyanine composite photocatalyst [J]. Applied Catalysis B: Environmental, 2013, **132-133**: 315-320.

[15] Pare B, Sarwan B, Jonnalagadda S B. Photocatalytic mineralization study of malachite green on the surface of Mn-doped BiOCl activated by visible light under ambient condition [J]. Applied Surface Science, 2011, **258**(1): 247-253.

[16] Ye L Q, Deng K J, Xu F, *et al*. Increasing visible-light absorption for photocatalysis with black BiOCl [J]. Physical Chemistry Chemical Physics, 2012, **14**(1): 82-85.

[17] Liu Y Y, Son W J, Lu J B, *et al*. Composition dependence of the photocatalytic activities of $BiOCl_{1-x}Br_x$ solid solutions under visible light [J]. Chemistry-A European Journal, 2011, **17**(34): 9342-9349.

[18] Ren K X, Liu J, Liang J, *et al*. Synthesis of the bismuth oxyhalide solid solutions with tunable band gap and photocatalytic activities[J]. Dalton Transactions, 2013, **42**(26): 9706-9712.

[19] Xiao X Y, Jiang J, Zhang L Z. Selective oxidation of benzyl alcohol into benzaldehyde over semiconductors under visible light: The case of $Bi_{12}O_{17}Cl_2$ nanobelts[J]. Applied Catalysis B: Environmental, 2013, **142-143**: 487-493.

[20] Zhai Y F, Zhang A, Teng F, *et al*. Effect of mixed anion layer on energy band, charge separation and photochemical properties of $(BiO)_2OHCl$[J]. Applied Catalysis B: Environmental, 2018, **224**: 116-124.

[21] Launay J P. Reduction de l'ion metatungstate: Stades eleves de reduction de $H_2W_{12}O_{40}^{6-}$, derives de l'ion $HW_{12}O_{40}^{7-}$ et discussion generale[J]. Journal of Inorganic and Nuclear Chemistry, 1976, **38**(4): 807-816.

[22] Liu J H, Xie S Y, Geng Z B, *et al*. Carbon nitride supramolecular hybrid material enabled high-efficiency photocatalytic water treatments[J]. Nano Letters, 2016, **16**(10): 6568-6575.

[23] Heng H M, Gan Q, Meng P C, *et al*. The visible-light-driven type III heterojunction $H_3PW_{12}O_{40}/TiO_2$-In_2S_3: a photocatalysis composite with enhanced photocatalytic activity[J]. Journal of Alloys and Compounds, 2017, **696**: 51-59.

[24] Wang Q Z, Niu T J, Jiao D H, *et al*. Preparation of visible-light-driven BiOBr composites with heteropolyacids ($H_3PW_{12}O_{40}$) encapsulated by a zeolite for the photo-degradation of methyl orange[J]. New Journal of Chemistry, 2017, **41**(11): 4322-4328.

[25] Wang Q Z, Jiao D H, Bai Y, *et al*. Immobilized heteropolyacids with zeolite (MCM-41) to enhance photocatalytic performance of BiOBr[J]. Materials Letters, 2015, **161**: 267-270.

[26] Guan M L, Xiao C, Zhang J, *et al*. Vacancy associates promoting solar-driven photocatalytic activity of ultrathin bismuth oxychloride nanosheets[J]. Journal of the American Chemical Society, 2013, **135**(28): 10411-10417.

[27] Hu L X, Chen F Y, Hu P F, *et al*. Hydrothermal synthesis of SnO_2/ZnS nanocomposite as a photocatalyst for degradation of Rhodamine B under simulated and natural sunlight[J]. Journal of Molecular Catalysis A: Chemical, 2016, **411**: 203-213.

[28] Aghdam S M, Haghighi M, Allahyari S, *et al*. Precipitation dispersion of various ratios of BiOI/BiOCl nanocomposite over g-C_3N_4 for promoted visible light nanophotocatalyst used in removal of acid orange 7 from water[J]. Journal of Photochemistry and Photobiology A: Chemistry, 2017, **338**: 201-212.

[29] Yan Y, Sun S F, Song Y, *et al*. Microwave-assisted in situ synthesis of reduced graphene oxide-$BiVO_4$ composite photocatalysts and their enhanced photocatalytic performance for the degradation of ciprofloxacin.[J]. Journal of Hazardous Materials, 2013, **250-251**: 106-114.

[30] Duo F F, Wang Y W, Fan C M, *et al*. Low temperature one-step synthesis of rutile TiO_2/BiOCl composites with enhanced photocatalytic activity[J]. Materials Characterization, 2015, **99**: 8-16.

[31] Wang X J, Wang Q, Li F T, *et al*. Novel BiOCl-C_3N_4 heterojunction photocatalysts: in situ preparation via an ionic-liquid-assisted solvent-thermal route and their visible-light photocatalytic activities[J]. Chemical Engineering Journal, 2013, **234**: 361-371.

[32] Rengifo-Herrera J A, Blanco M, Wist J, *et al*. TiO_2 modified with polyoxotungstates should induce visible-light absorption and high photocatalytic activity through the formation of surface complexes[J]. Applied Catalysis B: Environmental, 2016, **189**: 99-109.

[33] Zhang G Q, Li X Y, Zheng S Z, *et al*. Construction of TiO_2 nanobelts-Bi_2O_4 heterojunction with enhanced visible light photocatalytic activity[J]. Colloids and Surfaces A: Physicochemical and Engineering Aspects, 2018, **548**: 150-157.

[34] Wang Y J, Shi R, Lin J, *et al*. Enhancement of photocurrent and photocatalytic activity of ZnO hybridized with graphite-like C_3N_4[J]. Energy & Environmental Science, 2011, **4**(8): 2922-2929.

HUANJING KEXUE

Environmental Science (monthly)

Vol. 40 No. 3

Mar. 15, 2019

CONTENTS